



照片 3.1 試體 SRC1-BOX-N 灌漿前之情形



照片 3.2 試體 SRC2-BOX-S 灌漿前之情形



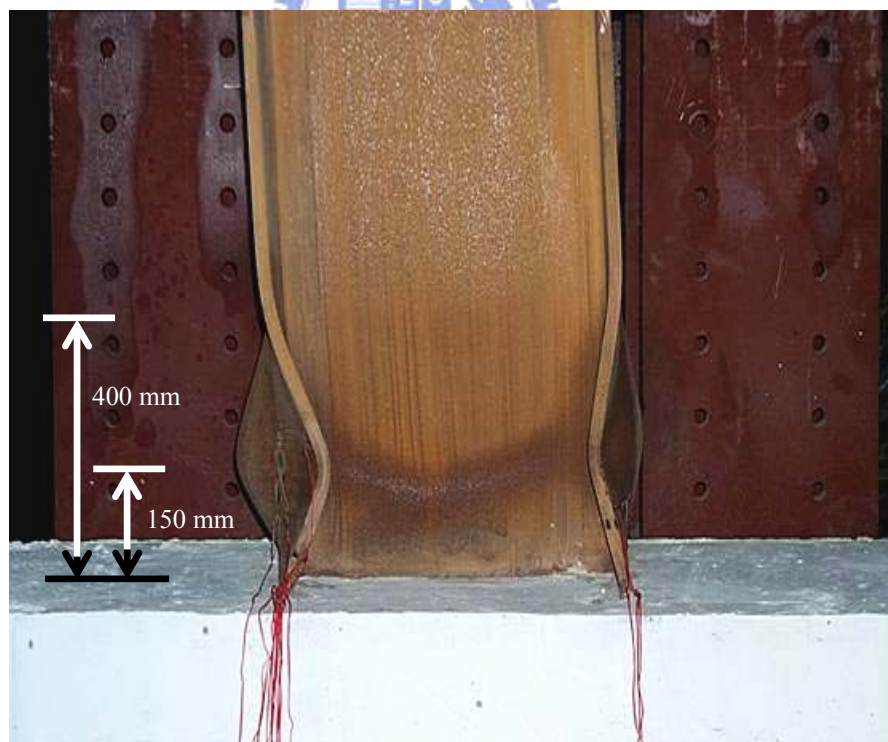
照片 3.3 試體 SRC2-BOX-S 梁柱接頭區灌漿前之情形



照片 3.4 SRC 試體架設於交通大學大型結構實驗室(右側為反力牆)

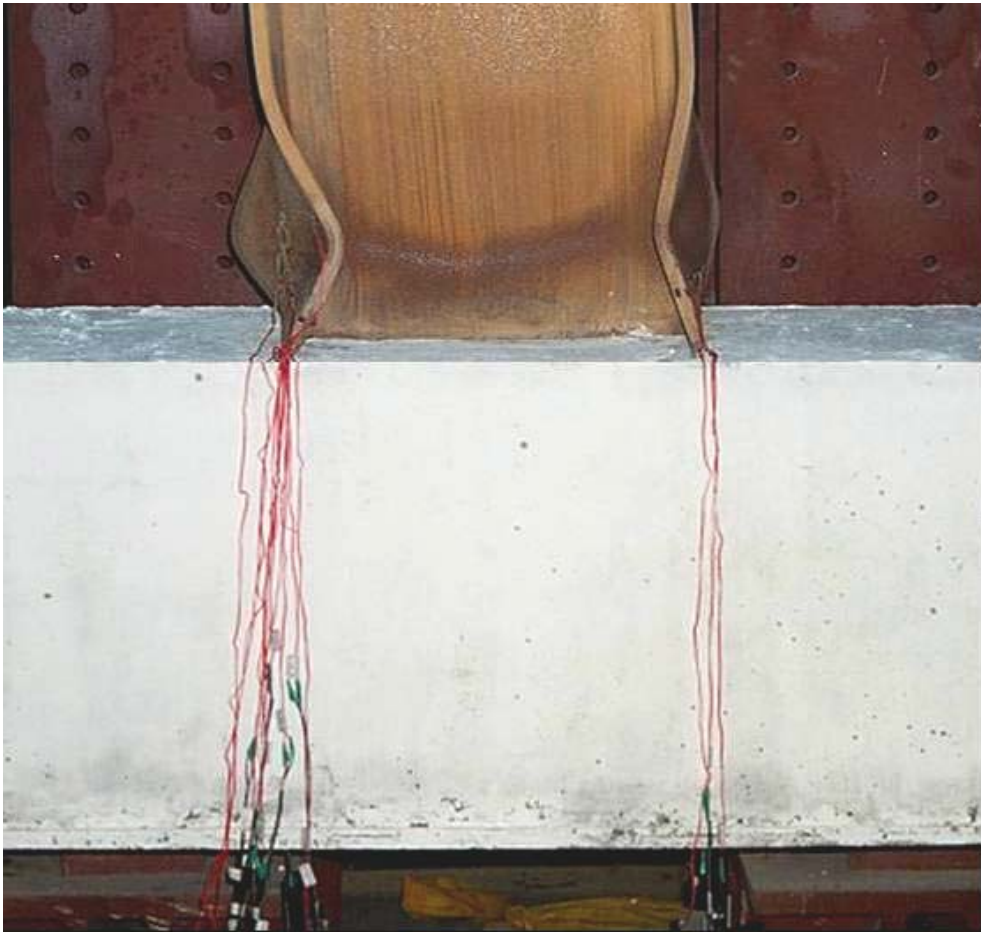


(a) SRC1-BOX-N 試體之梁端位移為  $9\Delta_y$  時之塑性變形情況  
(鋼梁塑性轉角  $\theta_{bp} = 3.2\% \text{ rad.}$ )



(b) SRC1-BOX-N 試體之梁端位移為  $12\Delta_y$  時之塑性變形情況  
(鋼梁塑性轉角  $\theta_{bp} = 5.4\% \text{ rad.}$ ，層間變位角  $(\theta_t)_u = 6.2\% \text{ rad.}$ )

照片 4.1 試體 SRC1-BOX-N 之鋼梁發展出良好的塑性鉸

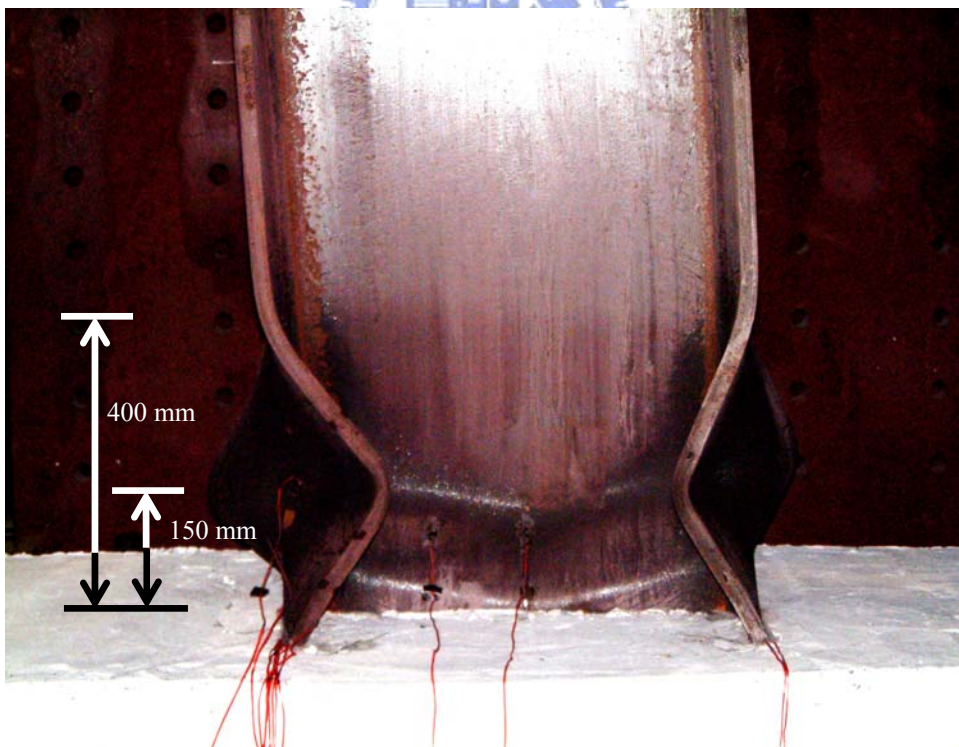


照片 4.2 試驗終止時 SRC1-BOX-N 梁柱接頭試體之整體變形狀況：

- (1) 鋼梁發展出良好塑性鉸 (鋼梁塑性轉角  $\theta_{bp} = 5.4\% \text{ rad.}$ )
- (2) 梁柱接頭區之混凝土仍然保持良好狀況



(a) SRC2-BOX-S 試體之梁端位移為  $9\Delta_y$  時之塑性變形情況  
(鋼梁塑性轉角  $\theta_{bp} = 3.1\% \text{ rad.}$ )



(b) SRC2-BOX-S 試體之梁端位移為  $14\Delta_y$  時之塑性變形情況  
(鋼梁塑性轉角  $\theta_{bp} = 6.0\% \text{ rad.}$ ，層間變位角  $(\theta_t)_u = 6.7\% \text{ rad.}$ )

照片 4.3 試體 SRC2-BOX-S 之鋼梁發展出良好的塑性鉸



照片 4.4 試驗終止時 SRC2-BOX-S 梁柱接頭試體之整體變形狀況：

- (1) 鋼梁發展出良好塑性鉸（鋼梁塑性轉角  $\theta_{bp}=6.0\%$  rad.）
- (2) 梁柱接頭區之混凝土仍然保持良好狀況